

Keklikte Farinks ve Larinks'in Morfolojik Yapısı ve Bezlerinin Histochemical Özellikleri*

Hakan SAĞSÖZ¹, Serkan ERDOĞAN², Mehmet Erdem AKBALIK¹, Berna GÜNEY SARUHAN¹

¹Dicle Üniversitesi Veteriner Fakültesi Histoloji ve Embriyoji Anabilim Dalı, Diyarbakır-TÜRKİYE

²Dicle Üniversitesi Veteriner Fakültesi Anatomi Anabilim Dalı, Diyarbakır-TÜRKİYE

Özet: Sunulan çalışma, kekliklerde faringeal ve laringeal bölgenin makroskopik ve mikroskopik özellikleri ile bu bölümdeki bezlerin histokimyasal özelliklerini detaylı bir şekilde tanımlamak için planlanmıştır. Çalışmada 5 dişi ve 5 erkek olmak üzere toplam 10 adet erişkin ve sağlıklı kinalı keklik kullanıldı. Eter anestezisi altında dil ile beraber farinks ve larinks total olarak diske edildi ve dokular rutin histolojik işlemleri takiben parafinde bloklandı. Kinalı keklikte anatomin olarak glottis yanlığının hemen gerisinde iki koni şeklinde mekanik faringeal papillalar bulunduğu, bunların tek sıra halinde yayvan "V" harfi şeklinde dizilim gösterdiği belirlendi. Histolojik olarak, farinksin çok katlı yassı keratinize epitelle, larinksin orofaringeal kaviteye bakan giriş bölümünün çok katlı yassı keratinize, devamının ise yalancı çok katlı prizmatik epitelle örtülü olduğu belirlendi. Hem faringeal hemde laringeal bölgede yerleşmiş bezlerin yoğun bir şekilde nötral musinleri içeriği ortaya konuldu. Özellikle AF ve HID pozitif bez hücrelerinin farinkste daha baskın olması sülfatlı musinlerin, bezlerin daha çok boyun bölgelerinde AB pozitif reaksiyonu olmasa ise karboksilli musinlerin varlığını gösterdi. Buna karşın, laringeal bölgede AB pozitif reaksiyonun daha yoğun olması bu bölümde karboksilli musinlerin daha baskın olduğunu ortaya koydu. Sonuç olarak, farinks ve larinksin genel yapısının nisbeten diğer kanatlı türleri ile benzer olduğu, hem faringeal hem de laringeal bölgede yerleşen bezlerin salgı üniteleri ve akıticı kanallarının nötral, asidik, N-asetylsialomusinler ile glikojeni içeriği belirlendi.

Anahtar Kelimeler: Histochemistry, keklik, morfoloji, musinler

Morphological Structure of Pharynx and Larynx and Histochemical Features of its Glands in the Partridge

Summary: The aim of the present study was to describe macroscopic and microscopic characteristics of pharyngeal and laryngeal region of partridges and histochemical features of glands in these regions. In this study; a total of 10 adult and healthy chukar partridges, 5 male and 5 female, were used. Pharynx and larynx with tongue were dissected totally under the ether anesthesia and then embedded in paraffin following routine histological procedure. Anatomically, it was detected that huge conical mechanical pharyngeal papillae located just behind the glottic fissure lined in a row and these papillae were arranged in wide V-shaped row relatively. Histologically, the pharynx and laryngeal entrance were lined by keratinized stratified squamous epithelium and laryngeal inlet lined by pseudostratified columnar epithelium. It was determined that pharyngeal and laryngeal glands densely contained neutral mucins. Especially, AF and HID positive epithelial cells of glands in pharynx predominantly showed existence of sulfated mucins in this section, while AB positive reaction in neck regions of glands showed presence of carboxylated mucins. However, the denser AB positive reaction in larynx displayed that carboxylated mucins were predominant in this section. In conclusion, it was demonstrated that the general structure of the pharynx and larynx were similar to other bird species and secretory units and ducts of pharyngeal and laryngeal glands contained neutral and acidic mucins, N-acetylsialomucins and glycogen.

Key Words: Histochemistry, partridge, morphology, mucins

Giriş

Tüm kanatlı türlerinde oral ve nazal kavite arasındaki ilişki memelilerden farklıdır. Kuşlarda yumuşak damak bulunmadığından farinks nazal ve oral bölmelere ayrılmaz ve faringeal mukoza da dildekine benzer şekilde konikal mekanik papillalar içerebilir (12,18). Türlerin tamamında farinks çok katlı yassı keratinize ya da non-keratinize, larinks ise çok katlı yassı non-keratinize ve yalancı çok katlı prizmatik epitelle örtülüdür. Bezler, lamina

propriya ve submukoza içinde yerleşim gösterir (5, 8, 12, 16). Faringeal ve laringeal bölgede yerleşen bu bezlerin bilinen fonksiyonu kayganlaştırıcı maddeler salgılamaktır (4, 13). Bu maddeler, yutulan gıdaları kaplayarak mukozayı koruyucu bir etki sağladığı gibi mukoza yüzeyi üzerinde bir bariyer oluşturarak mukozanın kurumasını da engellemektedir. Siyali asit içeren glikokonjugatlar ise mukoza yüzeyinde hidrofilik bir ortam oluşturarak bakteriyel aktivitelere karşı mukozayı korumaktadır (2, 17).

Tavuk, hindi, ördek ve kaz gibi birçok evcil türde orofaringeal kavitenin detaylı yapısı tanımlanmış olup, bu türlerde orofaringeal kavitenin anatomin yapısının nispeten benzerlik gösterdiği bildirilmiştir (4, 8, 12, 15). Kanatlı türlerinde orofaringeal kavi-

Geliş Tarihi/Submission Date : 25.04.2012
Kabul Tarihi/Accepted Date : 03.09.2012

* Bu çalışma 27-29 Ekim 2011 tarihleri arasında VII. Ulusal Veteriner Anatomi Kongresinde poster olarak sunulmuştur.

tenin genel yapısı ve görünümüne ilişkin çalışmalar daha çok dil üzerine yoğunlaşmıştır. Orofarinksin makroskopik özellikleri, bölümleri ya da histolojik yapısı emu (3, 4), bildircin (13), keklik (18) ve deve kuşunda (21) tanımlanmıştır. Buna karşın, kekliklerde orofaringeal bölgenin anatomiğ ve histolojik yapısı ile buradaki bezlerin histokimyasal özelliklerine ilişkin bilgilerin yetersiz olduğu belirlenmiştir. Sunulan çalışma, kekliklerde faringeal ve laringeal bölgenin makroskopik ve mikroskopik yapısı ile bu bölümlerin yapısına giren bezlerin histokimyasal özelliklerini detaylı bir şekilde tanımlamak ve diğer kanatlı türleri ile karşılaştırmak için planlanmıştır.

Gereç ve Yöntem

Çalışmada 5 dişi ve 5 erkek olmak üzere toplam 10 adet erişkin ve sağlıklı kınalı keklik kullanıldı. Eter anastezisi altında dil ile beraber farinks ve larinks total olarak diske edilerek anatomiğ yapının belirlenmesi için stereomikroskop (Nikon-SMZ800, Tokyo, Japan) altında incelendi. Histolojik incelemeler için, alınan doku örnekleri formol-alkol solusyonunda tespit edildikten sonra rutin histolojik prosedürü takiben parafinde bloklandı. Hazırlanan parafin bloklardan 5 μ kalınlığında seri kesitler alındı. Genel histolojik yapıyı belirlemek için Crossman'ın üçlü boyası, faringeal ve laringeal bezlerdeki müsinlerin histokimyasal özelliklerini belirlemeye; nötral müsinler için Periodic Acid-Schiff (PAS), glikojen için PAS-Diastase ile Best Carmine, nötral ve asidik müsinleri ayırt etmek için Alcian Blue (pH 2.5)-Periodic Acid Schiff (AB-PAS), karboksilli ve sülfatlı müsinler için kombiné Aldehyde Fuchsin-Alcian Blue (pH 2.5) (AF-AB) ile High Iron Diamine-Alcian Blue (pH 2.5) (HID-AB), zayıf ve kuvvetli sülfatlı müsinler için Alcian Blue (pH 1.0), kuvvetli sülfatlı müsinler için Alcian Blue (pH 0.2) ve N-asetil siaolomüsünler için Periodic Acid-Phenylhydrazine-Schiff (PAPS) teknikleri uygulandı. Histokimyasal prosedürlerde çekirdek boyaması için Kernechtrot (Nuclear Fast red) kullanıldı (1). Boyanan örnekler ışık mikroskopik (Nikon-Eclipse E400, Tokyo, Japan) olarak değerlendirildi.

Bulgular

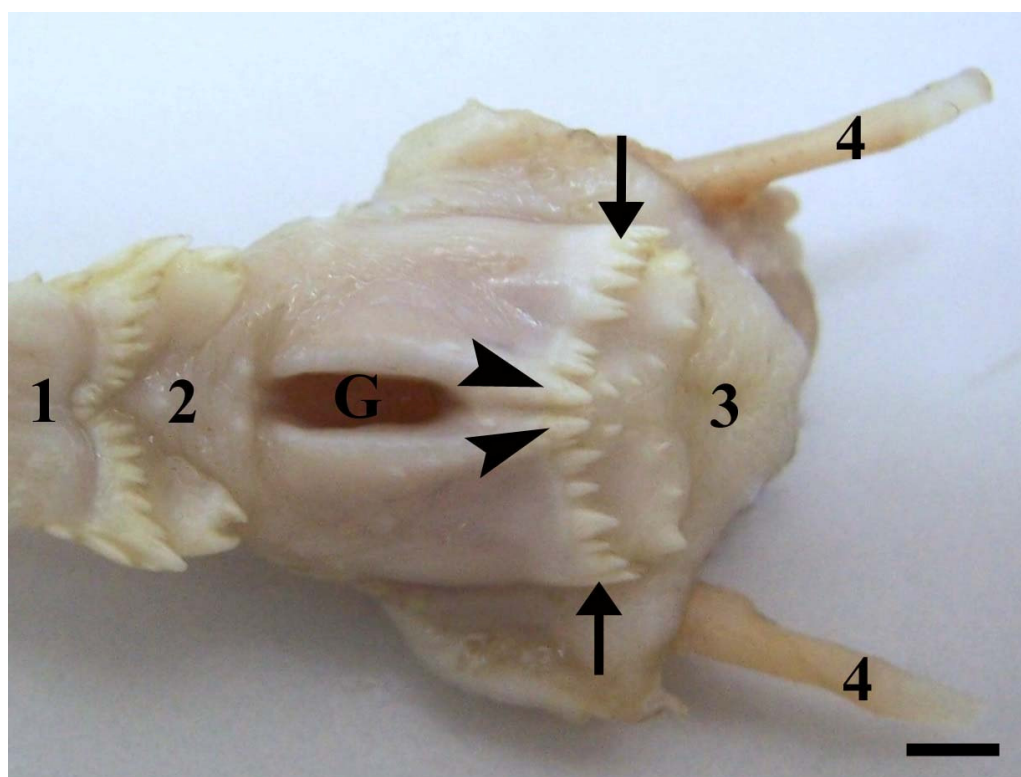
Anatomik olarak kınalı keklikte glottis yarığının hemen gerisinde bulunan faringeal papillaların nispeten yayvan "V" harfi şeklinde ve tek bir sıra halinde dizildiği görüldü. Sayıları 17-20 arasında değişen bu papillaların serbest uçlarının geriye doğru yönelim gösterdiği belirlendi. Papilla sırasının tam merkezinde bulunan iki adet faringeal pa-

pillanın diğerlerine kıyasla çok daha iri olduğu görüldürken, bu papillalardan başlayarak her iki lateral kenara doğru dizilenlerin ise daha ince bir yapıya sahip olduğu izlendi. Bu konikal papillalar orofarinksin her iki lateral sınırını kacaklar tarzda kavrarmıştı. Glottis yarığının çevresinde ise bu papillalar bulunmamaktaydı. Özofagus mukozasının başlangıç bölümünde, glottisin kaudal sınırını oluşturan, "m" harfine benzer bir formda dizilen, seyrek ve oldukça kısa papillaların bulunduğu görüldü. Her iki mukoza yarımindan 4-6 adet bulunan bu papillaların serbest uçlarının da diğerlerine benzer şekilde geriye doğru yönlendiği belirlendi (Şekil 1).

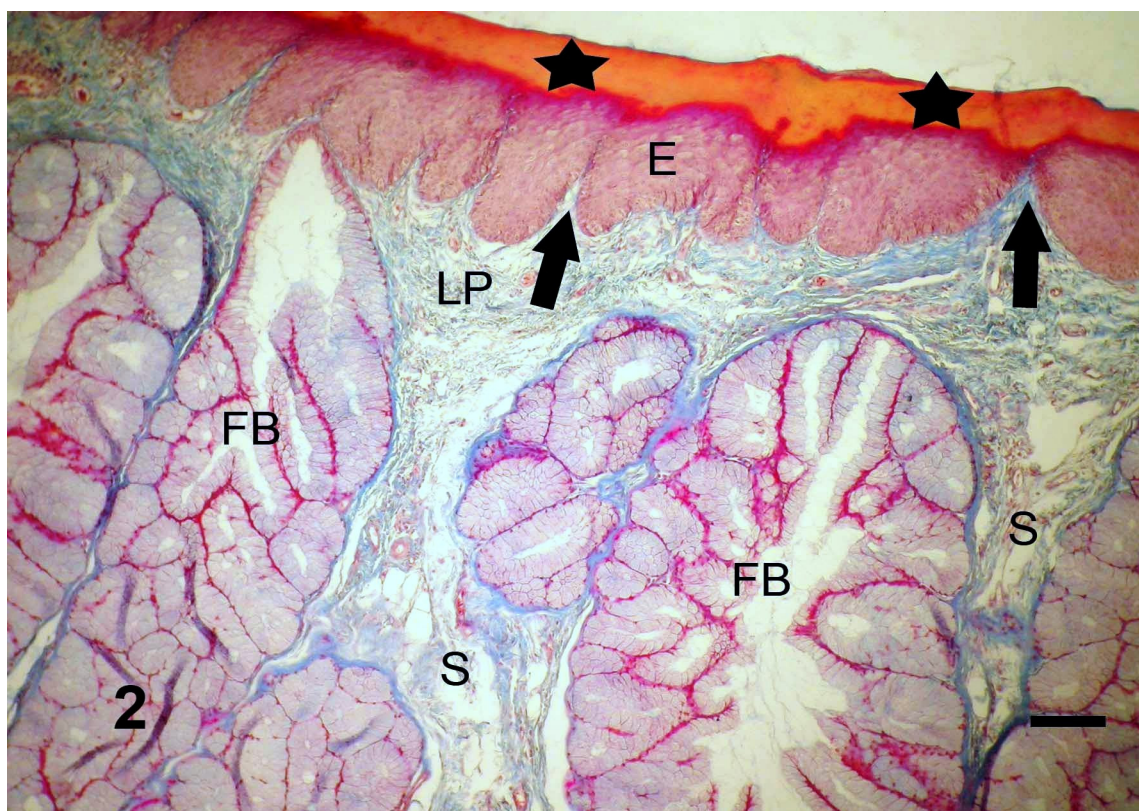
Histolojik olarak, farinksin çok katlı yassı keratinize epitelle örtülü olduğu ve kan damarından zengin olan sıkı bağdoku özelliğindeki lamina propria'nın epitele doğru derin mikroskopik papillalar şekillendirdiği gözlandı. Lamina propriada bir akitici kanal aracılığı ile epitele açılan, çekirdekleri bez epitel hücrelerinin bazalinde yerleşmiş uzun, dallanmış tubuler muköz bezler bulunmaktadır. Özellikle bezlerin etrafındaki bağdoku alanlarında yerleşmiş, agregat veya soliter tipte lenf folikülleri belirlendi (Şekil 2).

Kekliklerde, larinksin orofaringeal kaviteye bakan giriş bölümünün çok katlı yassı keratinize, devamının ise yalancı çok katlı prizmatik epitelle örtülü olduğu belirlendi (Şekil 3A, B). Gevşek bağdoku özelliğindeki lamina propria ve submukoza katmanları kollagen ve elastik ipliklerin yanı sıra, çok sayıda kan damarı içermekteydi. Laringeal epitede kadeh hücreleri yoğun olarak bulunmaktadır. Ayrıca hem intraepitelial olarak hem de lamina propriada yerleşmiş basit tubuler bezler dikkati çekmektedir. Laringeal bölgede de farinkstekine benzer şekilde bağdoku ve bezler etrafına yerleşmiş soliter ya da agregat lenf folikülleri bulunmaktadır (Şekil 3B). Buna karşın, orofaringeal kaviteye komşu bölümde lamina propria düzensiz sıkı bağdoku özelliğindeydi ve bez içermemektedir (Şekil 3A). Larinksin yapısına katılan kıkırdaklar ise hiyalin kıkırdak özelliğindeydi (Şekil 3A, B).

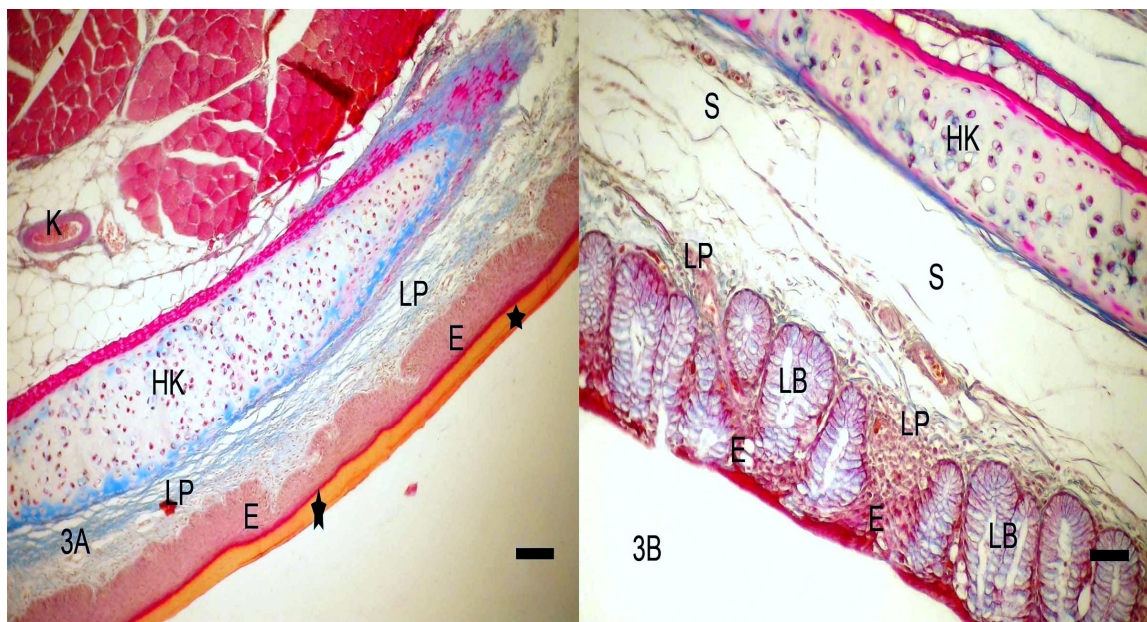
Hem faringeal hemde laringeal bölgede yerleşmiş bezlerin güçlü PAS-pozitif reaksiyon gösterdiği (Şekil 4A, B), ayrıca bu bezlerde glikojen partiküllerinin bulunduğu ortaya konuldu. Laringeal bezlerdeki glikojen partikülleri faringeal bezlerden daha yoğundu (Şekil 4C, D). AB (pH-2.5)/PAS boyama da faringeal bezlerin yoğun PAS, zayıf mikst ve AB-pozitif, laringeal bezlerin ise daha çok mikst boyandığı saptandı (Şekil 5A, B). AB (pH-2.5)/AF ve AB(pH-2.5)/HID boyama tekniklerinde ise bez epitel hücrelerinde boyanma farklılıklarının bulunduğu dikkati çekti. Özellikle AF- ve HID-pozitif bez epitel hücrelerinin farinkste daha baskın olduğu, bezlerin



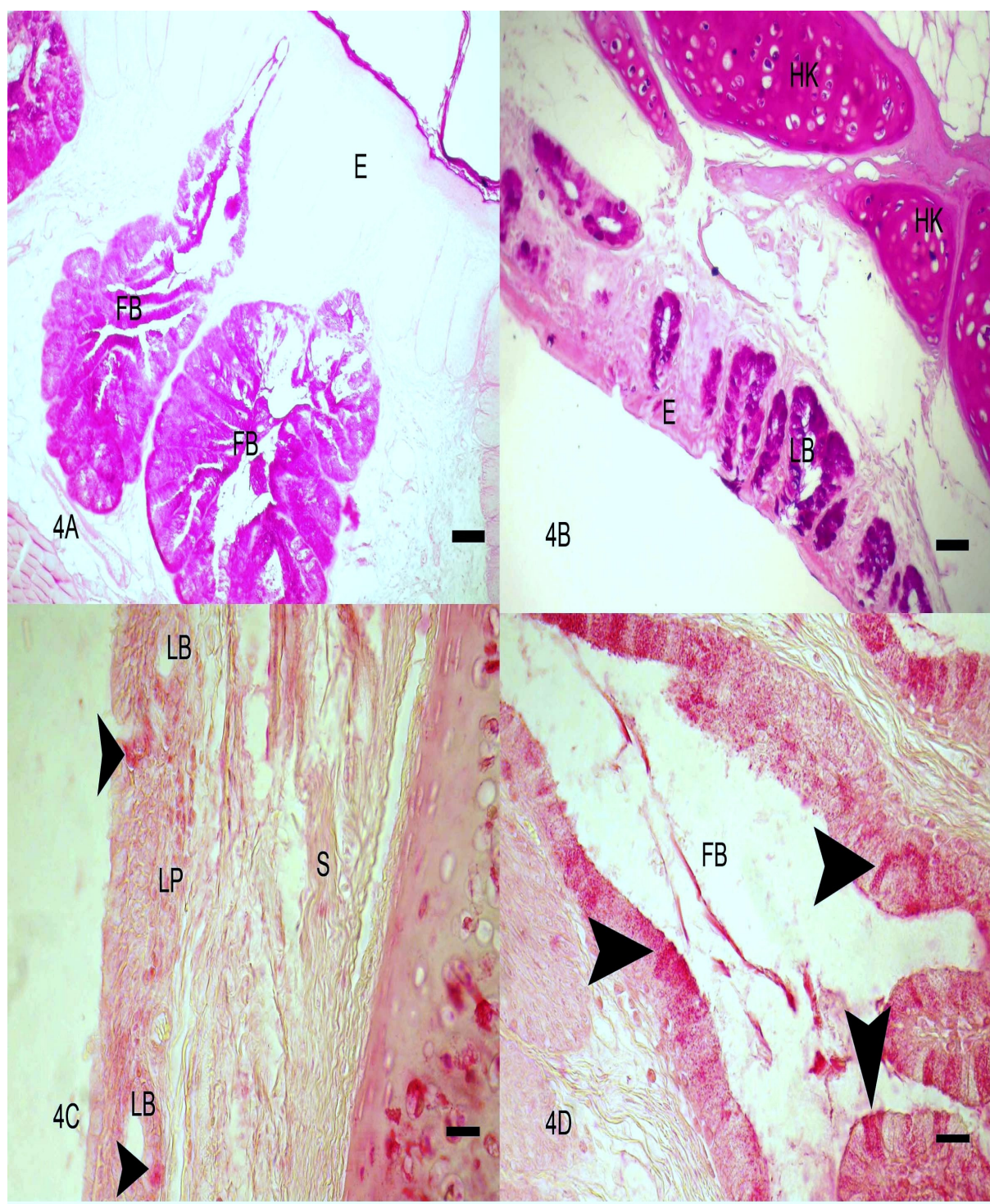
Şekil 1. Farinksin genel anatomik görünümü. Korpus lingua (1), radiks lingua (2), özofagus (3), os hyoideum (4), glottis (G), faringeal papilla sırası (oklar) ve papilla sırasının merkezinde yerleşen daha iri koni şeklinde papillalar (ok başları). Bar: 2 cm



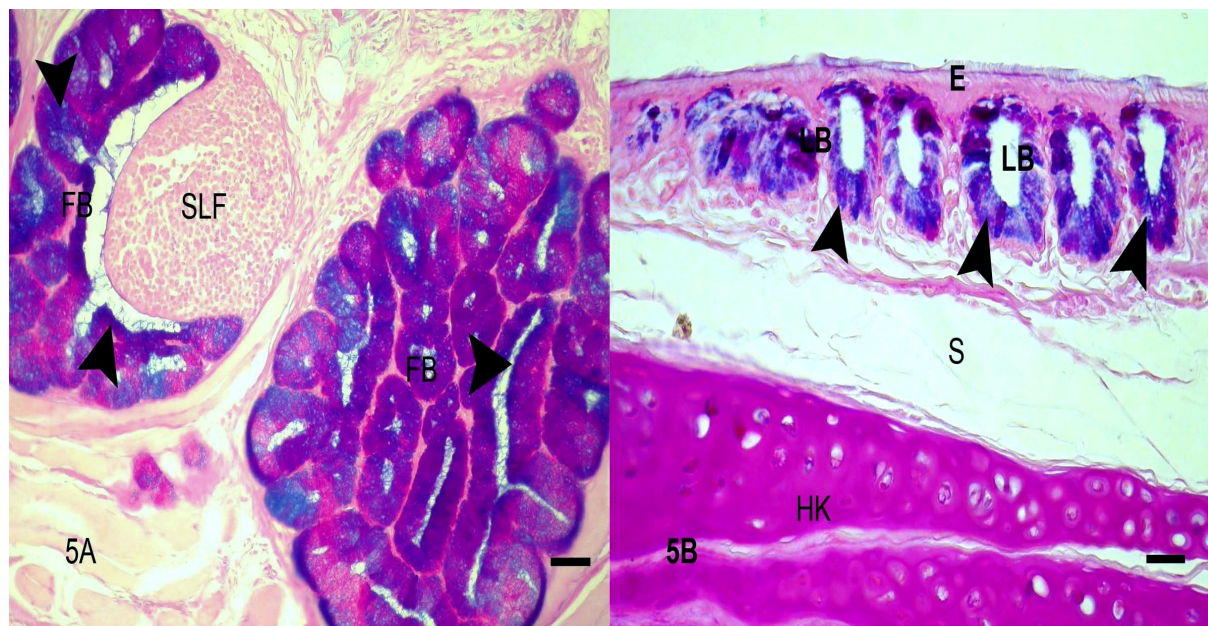
Şekil 2. Farinkste çok katlı yassı keratinize epitel (E) ve lamina propriyanın (LP) epitel içine doğru oluşturduğu derin mikroskopik papillalar (oklar). Submukoza (S) içine yerleşmiş basit dallanmış tubuler faringeal bezler (FB). Yıldızlar; keratin katmanı. Crossman'ın üçlü boyama tekniği, Bar: 100 μ m



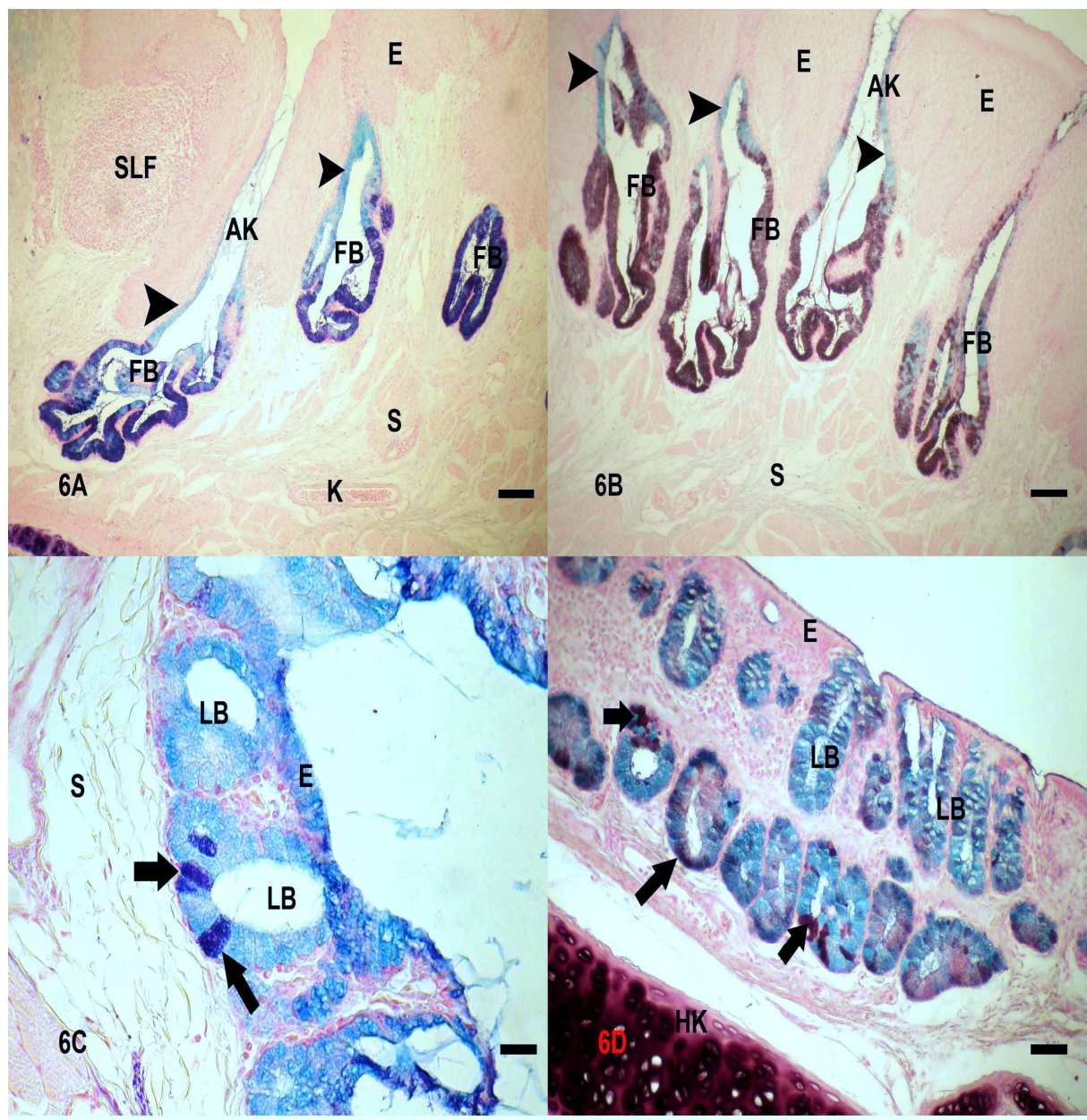
Şekil 3. A Lariksin orofaringeal kaviteye komşu bölümündeki çok katlı yassi keratinize epitellin (E) görünümü. B Yalancı çok katlı prizmatik epitelin (E) ve tubuler muköz laringeal bezlerin (LB) görünümü. LP: lamina propria, S: submukoza, K: kan damarı, Yıldızlar: keratin katmanı, HK: hyalin kıkırdak. Crossman'ın üçlü boyama tekniği, Bar: 50 μ m



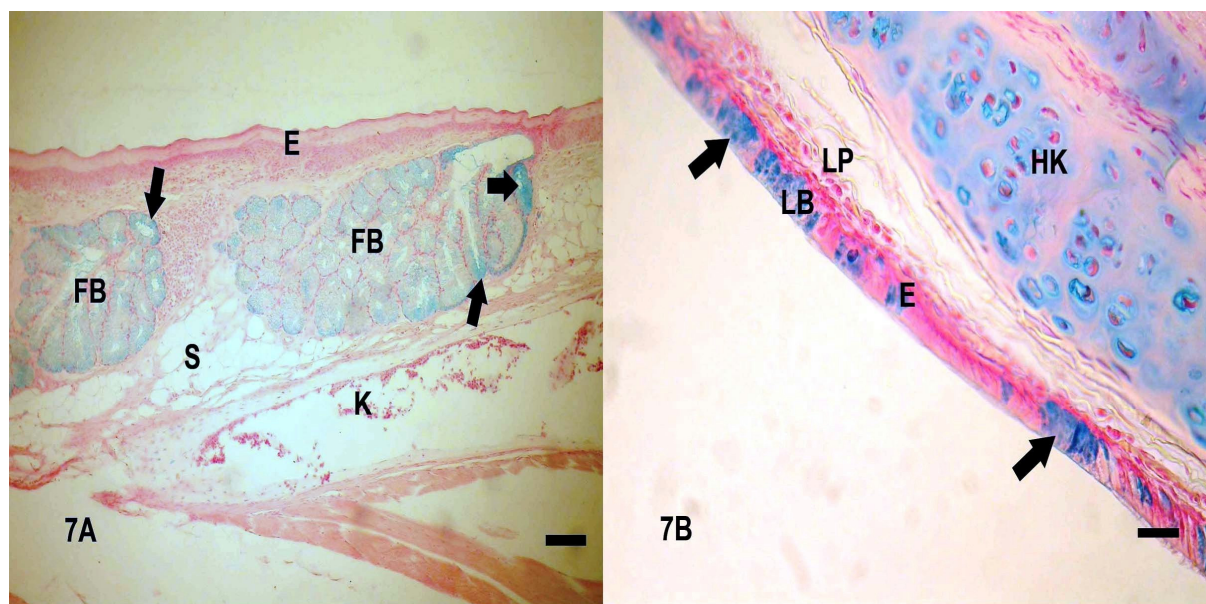
Şekil 4. A ve B Faringeal (FB) ve Laringeal (LB) bezlerde nötral musinlerin lokalizasyonu, Periodic Acid-Schiff (PAS) boyama tekniği, Bar: 100 ve 50 μm . C-D Faringeal (FB) ve Laringeal (LB) bezlerde glikojenin (ok başı) lokalizasyonu. LP: lamina propria, S: submukoza, HK: hiyalin kıkırdak. Best Carmin boyama tekniği, Bar: 25 μm



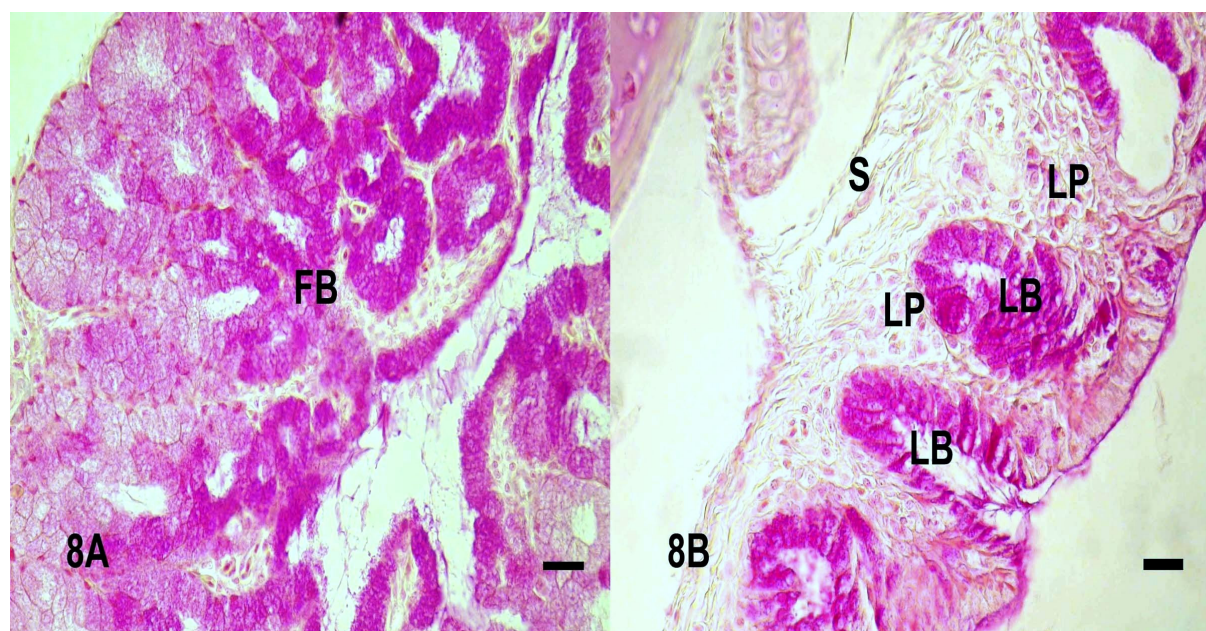
Şekil 5. A ve B Faringeal (FB) ve Laringeal bezlerde (LB) mikst musinlerin (ok başları) lokalizasyonu. E: yalancı çok katlı prizmatik epitel, S: submukoza, HK: hiyalin kıskırda, SLF: soliter lenf folikülü. Alcian Blue (pH 2.5) – Periodic Acid-Schiff (PAS) boyama tekniği, Bar: 50 µm



Şekil 6. A ve B Faringeal bezlerde (FB) AB pozitif karboksilli musinlerin lokalizasyonu (ok başı) Bar: 100 µm. C ve D Laringeal bezlerde (LB) AF ve HID pozitif zayıf ve kuvvetli sülfatlı musinlerin lokalizasyonu (ok). E: epitel, S: submukoza, AK: akitici kanal, K: kan damarı, HK: hyalinik kıkırdak, SLF: soliter lenf folikülü. Combined Aldehyde Fuchsin-Alcian Blue (pH 2.5) (AF-AB), High Iron Diamine-Alcian Blue (pH 2.5) (HID-AB), Bar: 50 µm



Şekil 7. A ve B Faringeal (FB) ve laringeal bezlerde (LB) zayıf ve kuvvetli sülfatlı musinlerin lokalizasyonu (ok). E: epitel, S: submukoza, K: kan damarı, HK: hyalinik kıkırdak. Alcian Blue (pH 1,0) boyama tekniği, Bar: 100 µm ve 50 µm



Şekil 8. A ve B Faringeal (FB) ve laringeal bezlerde (LB) N-asetil siyalomusinlerin lokalizasyonu (ok). LP: lamina propria, S: submukoza. Periodic acid–Phenylhydrazine–Schiff (PAPS), Bar: 25 µm

daha çok boyun bölgelerinin AB-pozitif reaksiyon gösterdiği belirlendi (Şekil 6A, B). Buna karşın laringeal bölgede AB pozitif reaksiyonun daha yoğun olduğu dikkat çekti (Şekil 6C, D). Ayrıca, hem farinks hem de larinkste bezlerin salgı ünitelerindeki AB (pH 1.0) ve AB (pH 0.2) bazı hücrelerin pozitif reaksiyon gösterdiği saptandı (Şekil 7A, B). Fenil hidrazin (PAPS) teknijinde farinks ve larinkste yerleşen bez epitel hücrelerinin de yoğun bir reaksiyon gösterdiği ortaya konuldu (Şekil 8A, B) (Tablo 1). Hem erkek hem de dişi keklikler arasında anatomik ve histolojik özellikler bakımından herhangi bir farklılık bulunamadı.

Tartışma ve Sonuç

Birçok kuş türünde oral kaviteye ilişkin çalışmalar daha çok dil, dildeki tat tomurcukları, dil bezleri ile sinir sonlanmaları üzerinde yoğunlaşmıştır (10). Deve kuşu, emu ve Rhea americana gibi ratite sınıfı kuşlarda orofarinksin temel makroskopik özellikleri sıkça gösterilmiş ancak histolojik özellikleri hakkında detaylı bilgi verilmemiştir (3, 11, 19, 21). Özellikle laringeal giriş ile çevresinde bulunan anatomik oluşumları ve bunların histolojik yapısını detaylı bir biçimde değerlendiren çalışmalar oldukça sınırlıdır (5, 6, 7, 9, 16).

Çalışmamızda, incelenen kekliklerde glottis yarığı çevresinde herhangi bir papillaya rastlanmazken, glottis yarığının kaudal sırasında organize olan transversal bir konikal papilla sırası gözlenmiştir. Saksaganda ve kuzgunda (6) ise kekliğin aksine glottis yarığını sınırlayan ve yönleri geriye doğru olan makroskopik olarak da dikkati çeken iri faringeal konikal papillalar tespit edilmiştir. Bunun yanı sıra her iki türde hem glottal yarık çevresinde paramedian yerleşimli ve iki yana doğru transversal olarak yayılan, hemde yarığı kaudalden destekleyen etkin bir papillar düzenleme de dikkati çekmiştir. Benzer şekilde hindi, kaz, ördek (15) ve kızıl şahinde (7) glottal yarığın gerisinde çok sayıda kaudale yönelen konikal papilla bulunduğu bildirilmiştir. Ancak kızıl şahinde de (7) keklikte olduğu gibi glottis yarığının çevresinde faringeal konikal papilla gözlenmemiştir. Ayrıca Afrika alacakargasında (9) mons laryngealis'te yerleşen konikal papillaların varlığı bildirilmiştir. Laringeal bölge, devekuşunda da (16, 20) detaylı olarak incelenmiş ve mekanik papillalardan yoksun olduğu gözlenmiştir. Keklikte orofaringeal bölgede gözlenen bu oluşumların, dildeki mekanik etkiden ziyade lokmanın tek doğrultuda esophagus'a yönlendirilmesinde (14) ve geri dönerek glottal aralığa kaçmasının engellenmesinde daha çok rol oynadıkları düşünülmüştür.

Tablo 1. Kekliklerde faringeal ve laringeal bezlerde bez epitel hücrelerindeki histokimyasal reaksiyonlar

Histokimyasal Reaksiyonlar	Faringeal bezler	Laringeal bezler
PAS	+++	+++
PAS-Diastase	+	++
Best Carmine	+	++
AB (pH 2.5)-PAS	+++ PAS, + M	+ PAS, ++ M
AF-AB (pH 2.5)	+++ AF, + AB	+ AF, +++ AB
HID-AB (pH 2.5)	+++ HID, + AB	+ HID, +++ AB
AB (pH 1.0)	++	++
AB (pH 0.2)	+	+
PAPS	++	++

AB; Alcian Blue, AF; Aldehyde Fuchsin, HID; High Iron Diamine, PAS; Periodic Acid-Schiff, PAPS; Periodic Acid-Phenylhydrazine-Schiff.

Reaksiyonlar: M; mikst reaksiyon, +; zayıf, ++; orta, +++; güçlü

Deve kuşunda (4, 21) faringeal epitelin çok katlı yassi non-keratinize türde olduğu ve düzensiz mikroskopik papillaları içeriği gösterilmiştir. Lamina propriyanın bol miktarda kan ve lenf damarları, sinir pleksusları ve herbst korpuskullerini kapsadığı da bildirilmiştir. Ayrıca bağdoku içinde basit tubuler muköz bezlerin yerlesiği ve bu bezlerin de akitici kanalları aracılığıyla epitelin yüzeyine açıldığı ifade edilmiştir (4, 21). Sunulan çalışmada, deve kuşunda (21) bildirildiği gibi farinksin çok katlı yassi epitelle örtülü olduğu, ancak keklikte deve kuşunun aksine epitelin yoğun keratinize bir katmana sahip olduğu belirlenmiştir. Bağdokunun faringeal epitele doğru mikroskopik papillalar şekillendirdiği gözlenmiştir. Keklikte de, deve kuşunda (3, 21) bildirildiği gibi faringeal bölgede lamina propria içinde basit dallanmış muköz tubuler bezler olduğu, hem lamina propria hem de submukozaın, yoğun elastik ve kollagen iplikler ile çok sayıda kan damarı içeriği belirlenmiştir.

Bildircin (5) ve erkek deve kuşunda (16) laringeal girişin epitelinin çok katlı yassi non-keratinize, devam eden epitelin ise yalancı çok katlı prizmatik türde olduğu bildirilmiştir. Lamina propria ve submukoza katmanlarının düzensiz sıkı bağdokudanoluştugu; kollagen iplikleri, kan damarlarını, plazma hücreleri ve lökositleri içeriği gösterilmiştir. Ayrıca, bildircin (5) ve erkek deve kuşunda (16) intraepitelial bölgede ya da lamina propriyada yerleşmiş sero-muköz tubuloalveolar bezlerin varlığı bildirilmiştir. Sunulan çalışmadan elde edilen bulgular, bildircin ve deve kuşunda bildirilenler ile benzer olmakla birlikte kekliklerde laringeal giriş bölümünü döşeyen çok katlı epitelin keratinize olduğu ve bezlerinin basit tubuler muköz bez özelliği gösterdiği belirlenmiştir. Ayrıca bağdoku ve bezler etrafına yerleşmiş soliter ya da agregat karakterde lenf foliküllerinin varlığı gösterilmiştir.

Kanatlılarda faringeal ve laringeal bezlerin histokimyasal özellikleri üzerine sınırlı sayıda çalışma mevcuttur. Yapılan çalışmada keklikte, erişkin bildircin (13) ve deve kuşunda (4, 16, 21) bildirildiği gibi faringeal ve laringeal bezlerin güçlü PAS reaksiyonu gösterdiği belirlenmiş, ayrıca glikojen partikülleri içeriği de ortaya konmuştur. Keklikte laringeal bezlerdeki glikojen miktarının faringeal bezlerden daha yoğun olduğu saptanmıştır. AB (pH-2.5)/PAS boyamada faringeal bezlerin zayıf, buna karşın laringeal bezlerin yoğun olarak mikst boyandığı belirlenmiştir. AB (pH-2.5)/AF ve AB(pH-2.5)/HID boyamada AF- ve HID- pozitif bez epitel hücrelerinin farinkste daha baskın olduğu, bezlerin daha çok boyun bölgelerinin AB pozitif reaksiyonu gösterdiği saptanmıştır. Buna karşın larinkste AB pozitif reaksiyonun daha yoğun olduğu dikkati çekmiştir.

Bu durum faringeal bezlerin sülfatlı musinleri, laringeal bezlerin ise karboksilli musinleri daha yoğun içeriğini göstermektedir. PAPS tekniğinde ise N-asetil siaolomusinlerin farinksteki bezlere göre larinksteki bezlerde daha yoğun olduğu belirlenmiştir.

Bütün bu sonuçlar; farinks ve larinksin genel yapısının nisbeten diğer kanalı türleri ile benzer olduğunu, hem faringeal hem de laringeal bölgede yerleşen bezlerin nötral, asidik (COOH ve sülfat grupları), N-asetilsialomusinler ile glikojeni içeriğini göstermiştir. Bu salgılarında keklikte, orofaringeal mukoza ile bakteriyel flora arasında bir bariyer oluşturduğunu ve bu şekilde mukozayı kuruma, mekanik yıkım, eksternal toksik maddeler ve mikrobiyal toksinlere karşı koruduğunu söyleyebiliriz.

Kaynaklar

1. Bancroft JD, Cook HC. Manual of Histological Techniques. Second Edition. Edinburgh, London, Melbourne and New York: Churchill Livingstone, 1984; pp.102-22.
2. Brockhausen I. Sulphotransferases acting on mucin-type oligosaccharides. Biochem Soc T 2003; 31: 318-5.
3. Crole MR, Soley JT. Morphology of the tongue of the emu (*Dromaius novaehollandiae*). II. Histological features. Onderstepoort J Vet 2009; 76: 347-61.
4. Crole MR, Soley JT. Distribution and structure of glandular tissue in the oropharynx and proximal esophagus of the emu (*Dromaius novaehollandiae*). Acta Zool-Stockholm 2011; 92: 206-15.
5. Çevik-Demirkhan A, Haziroğlu RM, Kürtül I. Gross morphological and histological features of larynx, trachea and syrinx in Japanese quail. Anat Histol Embryol 2007; 36: 215-19.
6. Erdogan S, Alan A. Gross anatomical and scanning electron microscopic studies of the oropharyngeal cavity in the European magpie (*Pica pica*) and the common raven (*Corvus corax*). Microsc Res Techniq 2012; 75: 379-87.
7. Erdogan S, Pérez W, Alan A. Anatomical and scanning electron microscopic investigations of the tongue and laryngeal entrance in the long-legged buzzard (*Buteo rufinus*, Cretzschmar, 1829). Microsc Res Techniq DOI: 10.1002/jemt.22057.

8. Hodges RD. The Histology of the Fowl. Second Edition. London, New York, San Francisco: Academic Press, 1974; pp. 37-45.
9. Igwebuike UM, Eze UU. Anatomy of the oropharynx and tongue of the African pied crow (*Corvus albus*). *Vet Arch* 2010; 80: 523–31.
10. Iwasaki S. Evolution of the structure and function of the vertebrate tongue. *J Anat* 2002; 201:1-13.
11. Jackowiak H, Ludwig M. Light and scanning electron microscopic study of the structure of the Ostrich (*Struthio camelus*) tongue. *Zool Sci* 2008; 25: 188-94.
12. King AS, McLelland J. Birds: Their Structure and Function. Second Edition. London: Bailliere Tindall, 1984. pp. 85-90.
13. Liman N, Bayram G, Koçak M. Histological and histochemical studies on the lingual, preglottal and laryngeal salivary glands of the Japanese quail (*Coturnix coturnix japonica*) at the posthatching period. *Anat Histol Embryol* 2001; 30: 367–73.
14. McLelland J. Systema digestorum. In: Baumel JJ, King AS, Breazile JE, Evans HE, Vanden Berge J, eds. *Nomina Anatomica Avium*. Publications of the Nuttall Ornithological Club, 1993; pp.301–28.
15. Nickel R, Schummer A, Seiferle E. Anatomy of the Domestic Birds. Verlag Paul Parey, Berlin-Hamburg, 1977; pp. 45–46.
16. Pasand AP, Tadjalli M, Mansouri H. Macroscopic study of larynx in the male ostrich. *Global Vet* 2010; 5: 109–15.
17. Robertson AM, Wright DP. Bacterial glycosulfatases and sulfomucin degradation. *Cancer J Gastroenterol* 1997; 11: 361–66.
18. Sağsöz H, Erdoğan S, Akbalık ME. Histomorphological structure of the palate and histochemical profiles of the salivary palatine glands in the Chukar partridge (*Alectoris chukar*, Gray 1830). *Acta Zool-Stockholm* doi: 10.1111/j.1463-395.2012.00566.x.
19. Santos TC, Fukuda KY, Guimarães JP, Oliveira MF, Miglino MA, Watanabe Ii-S. Light and scanning electron microscopy study of the tongue in *Rhea americana*. *Zool Sci* 2011; 28: 41–46.
20. Tadjalli M, Mansouri SH, Poostpasand A. Gross anatomy of the oropharyngeal cavity in the ostrich (*Struthio camelus*). *Iran J Vet Res* 2008; 9: 25–30.
21. Tivane C. A morphological study of the oropharynx and oesophagus of the ostrich (*Struthio camelus*). MSc dissertation. University of Pretoria, Faculty of Veterinary Medicine, Department of Anatomy and Physiology, Pretoria- South Africa, 2008.

Yazışma Adresi:

Yrd. Doç. Dr. Hakan SAĞSÖZ
 Dicle Üniversitesi, Veteriner Fakültesi,
 Histoloji ve Embriyoloji Anabilim Dalı,
 Diyarbakır/TÜRKİYE
E-mail: hakansagsoz@hotmail.com
Tel : 0412 248 80 20
Faks : 0412 248 80 21